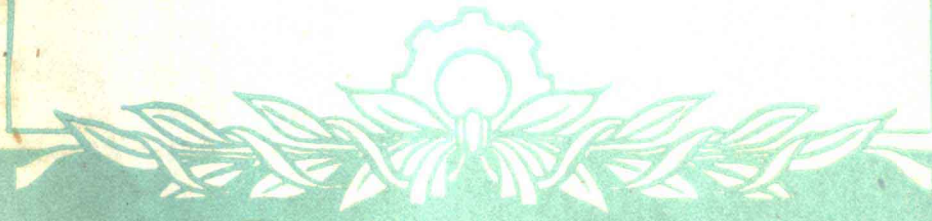


282986

中等专业学校教学用书

冶金工厂
热工測量和自動調節

鞍山鋼鐵學院
石景山冶金學院 合編



中国工业出版社



中等专业学校教学用书



冶金工厂 热工測量和自動調節

鞍山鋼鐵學院 合編
石景山冶金學院

中国工业出版社

本书为冶金工业部教育司推荐的中等专业学校教学用书，适用于炼铁、炼钢、轧钢专业，亦可供有色冶金专业使用。

本书讨论温度测量、压力测量、流量测量、气体分析、自动调节基本原理、冶金生产的测量和调节系统。对于每种仪器，着重叙述它的作用原理和构造特点，同时也适当介绍了有关仪器使用和安装的实际知识。

冶金工厂热工测量和自动调节

鞍山钢铁学院合编
石景山冶金学院

中国工业出版社出版（北京佟麟阁路丙10号）

（北京市书刊出版事业许可证字第110号）

中国工业出版社第三印刷厂印刷

新华书店科技发行所发行 各地新华书店经售

开本787×1092¹/₁₆ · 印张8³/₄ · 插页1 · 字数206,000

1961年7月北京第一版 · 1961年8月北京第一次印刷

印数0001~4,033 · 定价（9—4）0.88元

统一书号：15165·401（冶金—118）

目 录

第一章 溫 度 測 量

第一节 溫度測量仪器的分类	7
第二节 热电高温表	7
§ 1. 热电偶	7
一、热电偶产生热电势的原理	7
二、常用热电偶的测量范围和主要性质	9
三、热电偶的构造和保护设备	10
§ 2. 毫伏表	11
一、毫伏表的构造和测量热电势的原理	11
二、自动记录毫伏表	13
三、毫伏表刻度盘上的标记	16
§ 3. 电位表	16
一、用电位表测量热电势的基本原理	16
二、便携式电位表	17
三、电子电位表	18
§ 4. 装置热电偶的规则	25
第三节 电阻温度表	27
第四节 辐射高温表	30
§ 1. 光学高温表	30
一、灯丝隐灭式光学高温表	30
二、光电高温表	33
§ 2. 全辐射高温表	34

第二章 壓 力 測 量

第一节 一般知識	36
§ 1. 壓力的区分	36
§ 2. 测量单位	36
§ 3. 壓力測量仪器的分类	36
第二节 液体压力表	36
§ 1. 液柱式压力表	37
一、U形压力表	37
二、单管压力表	37
三、斜管微压表	38
§ 2. 环式压力表	38

§ 3. 钟罩天平式压力表.....	39
第三节 弹簧压力表.....	41
§ 1. 管弹簧压力表.....	41
§ 2. 螺管弹簧压力表.....	42
§ 3. 弹簧膜压力表和吸力表.....	43
§ 4. 风箱式弹簧(膜)压力表.....	44
第四节 压力表的选择、安装和校验.....	44
§ 1. 压力表的选择.....	44
§ 2. 压力表的安装.....	44
§ 3. 压力表的校验.....	45

第三章 流量测量

第一节 压力管.....	47
第二节 节流仪器.....	50
§ 1. 用节流设备测量的简介.....	50
§ 2. 基本流量公式.....	51
§ 3. 流束膨胀补正系数及孔板热膨胀补正系数.....	53
§ 4. 流量系数 α 及其补正系数.....	55
§ 5. 用孔板测量流量的公式和计算.....	57
§ 6. 计算孔板的孔径.....	65
§ 7. 节流设备的主要型式.....	68
一、孔板.....	68
二、喷咀.....	68
三、流量管.....	70
§ 8. 孔板的装置.....	73
第三节 流量表(压差表).....	75
§ 1. 环式流量表——压差表.....	75
§ 2. 浮标压差表.....	75
第四节 压差表的装置.....	77

第四章 分析气体的成分

第一节 气体的取样和样品的储存.....	80
§ 1. 取样地点的选择.....	80
§ 2. 取样管.....	80
§ 3. 气体样品的储运.....	81
第二节 分析气体成分的仪器.....	81
§ 1. 人工气体分析器.....	81
一、TX-1型人工气体分析器	82
二、完全分析的人工气体分析器.....	84

§ 2. 自动气体分析器.....	85
一、化学的自动气体分析器.....	85
二、电气的自动气体分析器.....	86
三、磁的氧分析器.....	87
第三节 湿度的概念及測量.....	89
§ 1. 湿度的基本概念.....	89
一、絕對湿度.....	89
二、相对湿度.....	90
§ 2. 干湿泡湿度計.....	91

第五章 自 动 調 节

第一节 基本概念.....	94
第二节 調节对象的基本性质.....	95
§ 1. 对象的容量.....	95
§ 2. 自衡.....	97
§ 3. 滯后.....	101
§ 4. 对象的負荷.....	102
第三节 調节器的性质.....	102
§ 1. 自动調节器的主要組成部分.....	102
§ 2. 調节器的分类.....	103
第四节 調节器的构造.....	107
§ 1. 液压調节器.....	107
一、压力調节器.....	107
二、流量調节器.....	107
三、比例調节器.....	107
四、大功率液压調节器.....	108
五、遙控开关.....	109
§ 2. 电动調节器.....	110
一、电子調节毫伏表.....	110
二、电动再調調节器.....	110
三、РДМ—35型电动压力調节器.....	117

第六章 生产過程的測量和調節系統

第一节 炼鐵車間.....	118
§ 1. 热风炉內燃烧和炉頂温度的自动調节.....	119
§ 2. 热风温度的自动調节.....	121
§ 3. 鼓风湿度的自动調节.....	122
第二节 炼鋼車間.....	125
§ 1. 調节炉內燃料的供給量.....	126

§ 2. 調節燃燒和進爐混合煤气的發热量.....	127
§ 3. 調節爐子熔膛內的压力.....	129
§ 4. 自動轉換換向閥.....	131
§ 5. 平爐的測量和調節的綜合系統.....	132
第三節 軋鋼車間.....	134
§ 1. 均熱爐.....	134
一、爐膛溫度的自動調節.....	134
二、燃燒的自動調節.....	134
三、爐膛壓力的自動調節.....	134
四、自動轉換換向閥.....	136
五、打開爐蓋時自動控制煤气、空氣和廢氣的停氣機構.....	137
§ 2. 加熱爐.....	137

第一章 溫 度 測 量

各种冶金生产过程，如炼铁、炼钢、轧钢等过程，都是在高温状态下进行的，都需要具备一定的温度才能获得优质产品，因此需要测量温度。

第一节 温度测量仪器的分类

按作用原理我們將測定溫度的仪器分为以下几类：

表 1—1 温度测量仪器的种类

分类号码	仪 器 类 别	测 量 原 理	测 量 范 围 °C
1	膨胀温度表	物体受热时体积膨胀	从 -75 到 750
2	压力温度表	温度表受热部分里的液体或气体（为一闭合系统）因加热而改变压力	从 -40 到 550
3	热电高温表	加热两种不同的导体的接点产生热电势	从 -50 到 1600
4	电阻温度表	导线的电阻随其温度改变	从 -50 到 500
5	辐射高温表 光学高温表 比色高温表 全辐射高温表	加热体的亮度（辐射强度）随其温度改变 加热体的颜色随其温度改变 加热体辐射的能量随其温度改变	从 800 到 2000 从 800 到 2000 从 700 到 1800

第二节 热电高温表

热电高温表是由热电偶、量电仪器（毫伏表或电位表）和连接导线三部分组成的，由于用它能很精确的测量高温，并能把示数传达到很远的距离和自动记录，所以在冶炼厂被广泛的应用。

§1 热 电 偶

一、热电偶产生热电势的原理（如图 1—2 所示）：取两根性质不同的金属线 A 与 B，把它们的一端焊在一起得接点 1，接点处的温度为 t 。我们知道，在不同的金属中其自由电子的密度不同，所以在接点 1 处自由电子密度大的金属 A 扩散到金属 B 中去的电子，比由金属 B 扩散到金属 A 中的多，因而金属 A 将带正电，金属 B 将带负电。这样所建立的电场，将要阻碍这种电子扩散，直到两者达到平衡为止，从而产生了一定的电势。

现在把 A、B 的另一端也焊在一起，得接点 2，接点所处的温度为 t_0 ，这里也要发生相同的情况。另外自由电子活动能力又和金属接点的温度有关，所以在接点 1 和 2 所产生的电势也是不相等的。这两端电势之差，通常称为热电势。如用等式表达热电偶所产生的热电势时，可写成下面的形式：

$$E_{A,B}(t, t_0) = e_{A,B}(t) - e_{A,B}(t_0) \quad (1-1)$$

如两接点处于相等的溫度(即 $t = t_0$)，热电偶所产生的热电势等于零，即：

$$E_{A,B}(t, t_0) = e_{A,B}(t_0) - e_{A,B}(t_0) = 0 \quad (1-2)$$

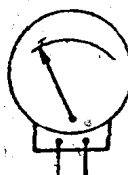
如果热电偶的两种金属确定后，所产生的电势仅与溫度有关，所以公式(1-1)可写成下一种形式：

$$E_{A,B}(t, t_0) = f(t) - f(t_0) \quad (1-3)$$

如将接点2的溫度加以固定，则 $f(t_0)$ 一項为一常数 c ，故公式(1-3)可写成：

$$E_{A,B}(t, t_0) = f(t) - c = \varphi(t) \quad (1-4)$$

由这个方程式可知，如果已知 $E_{A,B}(t, t_0)$ 的大小，就可求出1处的溫度值 t 。



连接導線

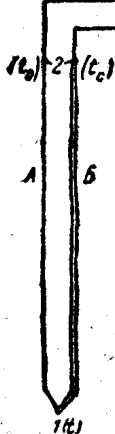


图1-1 热电高温表线路图

上述現象称为热电現象。金属A与B分別称为热电极，合称为热电偶。放在被測地方的一端称为热端或称測量端，而另一端称为冷端或自由端。

因此可得一个重要的結論：热电偶产生的热电势跟測量端和自由端的溫度都有关。只当自由端溫度保持不变时(公式1-4中第二項为一常数时)，热电偶产生的热电势才只是測量端溫度的函数。所以要得到正确的测量結果，保持自由端溫度不变是非常重要的。在測量溫度时，必須用导線将热电偶与測量仪表相連接，而这个导線对热电偶产生热电势的大小是沒有影响的，現在我們來討論這個問題。

当热电偶的电路中接入导線时，假如这个导線的两端溫度是相同的話，热电偶所发生的热电势是不变的。这个定則可由伏特定律(連續接触点定律)来証明，并且可以推广到由任何数目导線所組成的电路中。

根据伏特定律，在由两个或任何数目的不同导体A、B、C……N等所組成的閉合电路中，当它們的接合点溫度都相同而沒有外面的电动势通入时，就不可能产生电流，因此这个电路电动势的总和将等于零。

假如电路中的电动势的总和不等于零，则这个电路內就将有电流，如果有电流，这个电路的某一部分就要发热，而另一部分就要冷却。这就意味着，在沒有加外界功的情况下，热量会从溫度低的地点轉移到溫度較高的地点去。这是违反热力学第二定律的，所以我們可以得出結論：在这个电路中，电动势的总和等于零。

对于由三种不同导体所組成的电路(如图1-3)，假如它們的接点溫度都同是 t 的話，按上边所得的結論我們就可用方程式形式表达如下：

$$e_{AB}(t) + e_{BC}(t) + e_{CA}(t) = 0 \quad (1-5)$$



图1-2 热电偶产生热电势的原理

公式 1—5 又可写成如下的形式：

$$e_{BC}(t) + e_{CA}(t) = -e_{AB}(t) \quad (1-6)$$

現在我們再来討論由三种不同导体 A、B 和 C 所組成的电路，如图 1—4 所示。在这个电路中，接点 2 和 3 的溫度相同，都等于 t_0 ，接点 1 的溫度为 t ，則这个电路的电动势为：

$$E = e_{AB}(t) + e_{BC}(t_0) + e_{CA}(t_0) \quad (1-7)$$

按前述条件，当三个接点溫度相同时，因电路中电动势总和等于零，即：

$$E = e_{AB}(t_0) + e_{BC}(t_0) + e_{CA}(t_0) = 0$$

移項后可写成： $e_{BC}(t_0) + e_{CA}(t_0) = -e_{AB}(t_0)$ ，将这个数值代入公式 1—7 中就可以得到：

$$E = e_{AB}(t) - e_{AB}(t_0) \quad (1-8)$$

这就是說公式 1—8 和公式 1—1 是完全相同的。由此說明了当热电偶的电路中接入第三个导綫时，假如这导綫的两端溫度相同，則热电偶所产生的电势是不变的。

二、常用热电偶的測量范围和主要性质：在热电高温表中常用的热电偶有以下几种（表 1—2）：

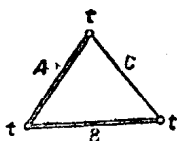


图 1—3：由三种不同导体
组成的热电偶电路

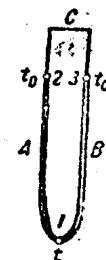


图 1—4 在接点之間接入
另一导体 C 的热电偶綫路图

表 1—2

热电极材料	规定符号	长期使用最高温度	短期使用最高温度
铂铑合金——铂	Pt	1300°C	1500°C
镍铬合金——镍铝合金	XA	900°C	1100°C
镍铬合金——镍铜合金	XK	600°C	800°C
铁——镍铜合金	JXK	600°C	800°C
铜——镍铜合金	MK	350°C	450°C

热电势跟測量端溫度的关系（自由端溫度为 0°C），見表 1—3 和图 1—5。

铂铑—铂热电偶是貴金属做的一种热电偶，由純物质做成的这种热电偶能够在很长時間內維持它的热电势不变，因此它常做标准热电偶去校正其他物质所做成的热电偶。

热电偶周围气体的性质对精确度和使用期限有很大影响。铂铑—铂热电偶在氧化性的气体中很稳定，但对还原性气体（特别是 CO）和砷、磷、矽等蒸汽的作用都很敏感，要是这些气体和蒸汽在高溫下与热电偶接触，热电偶很快就变质不能用了，所以铂铑—铂热电偶应当用高溫下不透气的裝置保护得很好。在实验室工作条件下，倘使周围存在的单纯氧化性或中性的气体时，允许把焊接点露在外面。

这种热电偶生产的热电势非常小（600°C 时才約 17 毫伏），这就需用灵敏的毫伏表。

表 1-3 热电偶的热电势，毫伏

热电偶测量端 的温度 °C	铜—镍铜合金 MR	铁—镍铜合金 JKK	镍铬—镍铜合金 XR	镍铬合金—镍铝 合金 XA	铂铑合金—铂 DD
-20	-0.86	-1.05	-1.27	-0.77	-0.109
0	0.0	0.0	0.0	0.0	0.0
20	0.89	1.09	1.31	0.80	0.115
100	4.75	5.75	6.95	4.10	0.640
200	10.29	12.00	14.65	8.13	1.421
300	16.48	18.10	22.90	12.21	2.310
400	23.13	24.55	31.48	16.39	3.243
500	30.15	30.90	40.15	20.64	4.210
600	37.47	37.40	49.00	24.90	5.212
700		44.10	57.75	29.14	6.249
800		51.15	66.40	33.31	7.320
900				37.36	8.426
1000				41.31	9.566
1100				45.14	10.741
1200				48.85	11.950
1300				52.41	13.153
1400					14.356
1500					15.558
1600					16.760

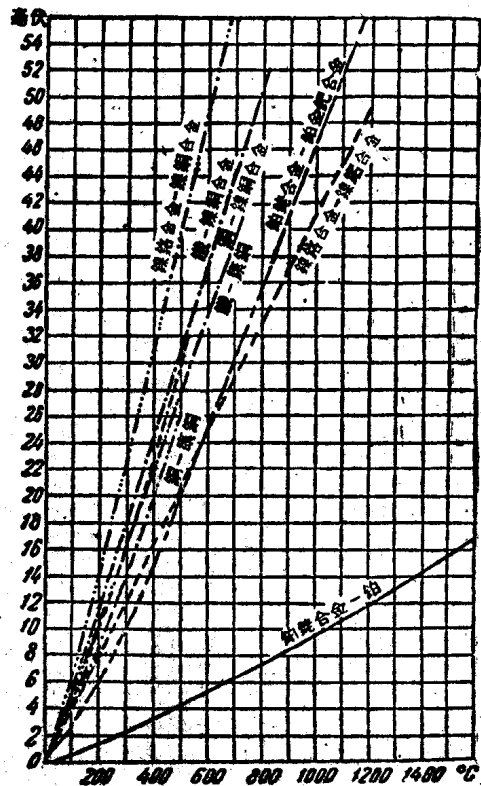


图 1-5 各种热电偶的热电势与温度的关系

除上述几种常用的热电偶外，在很多特殊情况下，还要采用钨—钼、钨—石墨以及碳—碳化硅等热电偶。

三、热电偶的构造和保护设备：

在用非贵重金属做热电极时，取其直

径为1.5~3.0毫米，用贵重金属做热电极时，如铂铑—铂，取其直径为0.5毫米。两热电极只应在测量端相接触，其余部分应该完全绝缘。

非貴重金属的內部絕緣采用耐火土管或瓷管。对于鉑銠—鉑热电偶普通用很长的瓷管。

为了保护热电极免受机械损害和有害气体的直接作用，把它们放到一个保护套管里去。测量 800°C 以下的温度时可用钢管，如用不锈钢做成的可用在 $900\sim 1100^{\circ}\text{C}$ 的温度，在短期测量中可达 1250°C 。

测量 1000°C 以上的温度，常用耐火土管。鉑銠—鉑热电偶要用含 Al_2O_3 成分高的高级耐火材料做保护套管。

热电偶的自由端在热电偶的接线盒里与端子板相接，接线盒固定在保护管上。接线盒的作用是使接线柱免受大气的影响——水分和尘埃的接触，各种气体的侵蝕。

除上面所談的在实验室和冶炼厂里应用最广的各种热电偶形式外，由于被测量的对象不同，所以还有其它几种型式，如测量表面温度的热电偶，浸入式热电偶等。

§2 毫伏表

一、毫伏表的构造和测量热电势的原理：

用热电偶或全辐射高温表来测量温度时，常用磁电式毫伏表，它的构造和测量热电势的原理如图 1—7 所示。

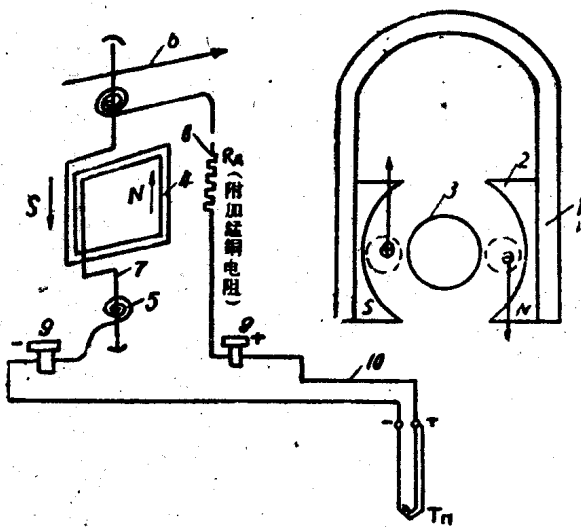


图 1—7 毫伏表的构造和测量热电势的原理图

φ 与通过线圈的电流强度 i 之间有下列关系：

$$\varphi = K \times i$$

(1—9)

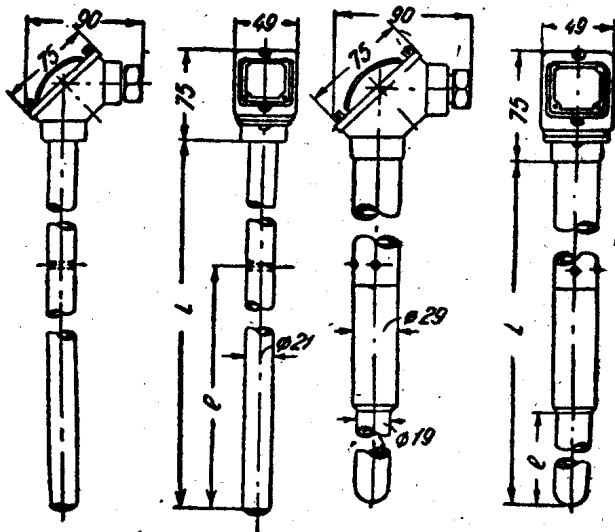


图 1—6 热电偶的外保护管
a—金属管；6—耐火土管

式中 K 为比例常数，它的大小决定于磁感应强度，线圈的高宽和匝数，以及螺旋弹簧的反力矩。

由欧姆定律

$$i = \frac{E(t, t_0)}{R_r + R_n + R_p} \quad (1-10)$$

式中 $E(t, t_0)$ —— 测量端温度为 t 、自由端温度为 t_0 时热电偶的热电势。

R_r —— 热电偶两热电极的电阻。

R_p —— 毫伏表的总电阻。

R_n —— 连接热电偶跟毫伏表的导线的电阻。

由公式 1-9 和公式 1-10 得

$$\varphi = K \frac{E(t, t_0)}{R_r + R_n + R_p} \quad (1-11)$$

可见线圈的偏角（亦即毫伏表指针的偏角）正比于热电偶所产生的热电势，反比于高溫表线路中的电阻和。使这些电阻固定，转角 φ 即可表示电势的数值了。这些电阻在测量过程中随着很多因素变化。例如毫伏表的电阻 R_p 是随着周围介质温度变更。连接导线的电阻 R_n ，是随着它的长度、直径的大小，及附近温度的高低变化。热电偶本身的电阻 R_r ，也是随着它的受热程度，以及周围介质温度的变化而变更的。

既然公式 1-11 中的所有电阻的数值，都难免在测量的过程中有所变更，这就影响到偏角 φ 的大小，也就是说，在热电偶产生同一热电势的条件下，毫伏表上的读数并不一致。为了使这种误差尽量减小，在制造毫伏表时，应尽量使 R_r 的电阻值加大。实际上， R_p 是毫伏表铜线圈的电阻 R_p 和附加的锰铜电阻 R_n （如图 1-7 所示）之和。 R_n 的电阻值常相当于 R_p 电阻值的两三倍。由于 R_r 电阻值的增大，就减小了 R_r 和 R_n 变化所引起的误差，同时，又因锰铜电阻的数值几乎不随周围介质的温度而改变，这就使得 R_p 变化所占的百分数大为减小。 R_r 的总值有时大到几百欧姆，甚至一千欧姆。

毫伏表一般在刻度时，外路电阻的数值是有一定的。它的数值标在仪器的刻度盘上，如 $R_{ext} = 5$ 欧（即外路电阻为 5 欧）。在使用毫伏表时，应该使外路电阻的数值和刻度盘所标记的外路电阻数值相同。外路电阻包括热电偶电阻，连接导线电阻，以及补偿导线电阻。

毫伏表的温度系数，是指毫伏表周围介质温度每改变 1°C 时，电阻改变的数值相当于毫伏表在刻度时电阻数值的百分数。

如图 1-7 所示，毫伏表的铜线 4 (R_p) 的电阻温度系数是 $0.4\%/\text{ }^{\circ}\text{C}$ ，与线圈串联的锰铜电阻温度系数为零，所以这时毫伏表的温度系数 α 等于

$$\alpha_p = 0.4 \times 10^{-2} R_p / R_r \quad (1-12)$$

式中 0.4×10^{-2} —— 线圈（铜导线）的温度系数。

R_p —— 线圈的电阻。

$R_r = R_p + R_n$ —— 毫伏表的总电阻。

由上式可知，毫伏表的总电阻，比线圈电阻大得多，仪器的温度系数就愈小，由温度所引起的误差也就愈小。

连接导线（铜导线）的电阻可按下式计算：

$$R = \frac{0.0178 l}{q} \text{ 欧}$$

(1-13)

式中 l ——单股綫长，米。

0.0178 ——銅的电阻系数。

q ——导綫的截面积，毫米²。

一 非貴重金属做的热电偶的电阻通常不大，可以忽略。

鉑鎔合金——鉑热电偶的电阻相当大。当两个热电极的平均溫度是20°C时，长1米、直径为0.5毫米的这种热电偶的电阻約为1.61欧，平均溫度是700°C时，約3.9欧，平均溫度是1200°C时，約5.3欧。要获得比較精确的外阻值，須由直接測量来决定。

二、自动記錄毫伏表：

自动記錄毫伏表，能把測量的結果用一些机构自动記錄下来。可以用一块仪表来測量几支热电偶，并用不同顏色的色带記錄出代表各个热电偶所測量的溫度曲綫。

因通过綫圈的电流很小，綫圈的轉动力矩也就不大，不可能使直接裝在指針上的笔尖进行記錄（因笔尖与記錄紙之間的摩擦力大的緣故），所以在生产中常采用落弓式的記錄装置。下面就介紹常用的CF型的自动記錄毫伏表。

記錄装置的原理系統图見1-8图。

挂在耐拉綫2上的綫圈1在永久磁鐵两极間轉动。

綫圈上裝有指針3，指針下有支持記錄紙的小軸4，紙上挂着一条顏色帶5。指針上空裝有輕鋁制的落弓6，可繞軸7轉動，當凸輪9轉動時，弓架的支持彈簧8脫離了支持它的梢釘，因而弓架下落壓下指針，並迫使它隔着色帶壓在記錄紙上，這一壓便在記錄紙上留下了顏色點。

由于弓架周期性的下落（每隔20秒），在移动的紙帶

上便形成了記錄下来的溫度隨時間而變的虛線曲綫。至于記錄數種測量結果的儀器，它

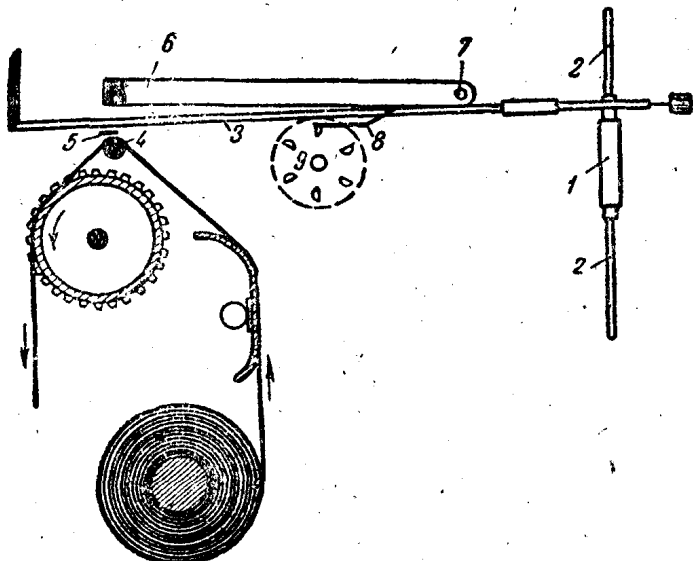


图 1-8 毫伏表的记录装置的原理图

1—毫伏表綫圈；2—耐拉綫；3—指針；4—支持軸；5—色帶；
6—落弓；7—落弓的軸；8—弓架的支持彈簧；9—凸輪

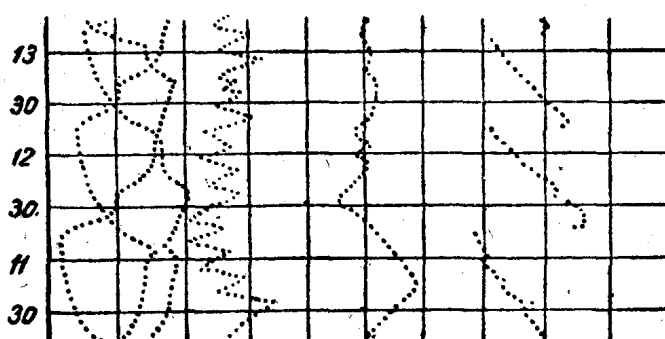


图 1-9 同一条紙帶上記錄六条曲綫的图纸

們有好幾條色帶，有轉換熱電偶和改變色帶的裝置，這樣可以得到以不同顏色記錄的許多虛線曲線。如圖1—9。

儀器的構造如圖1—10所示。

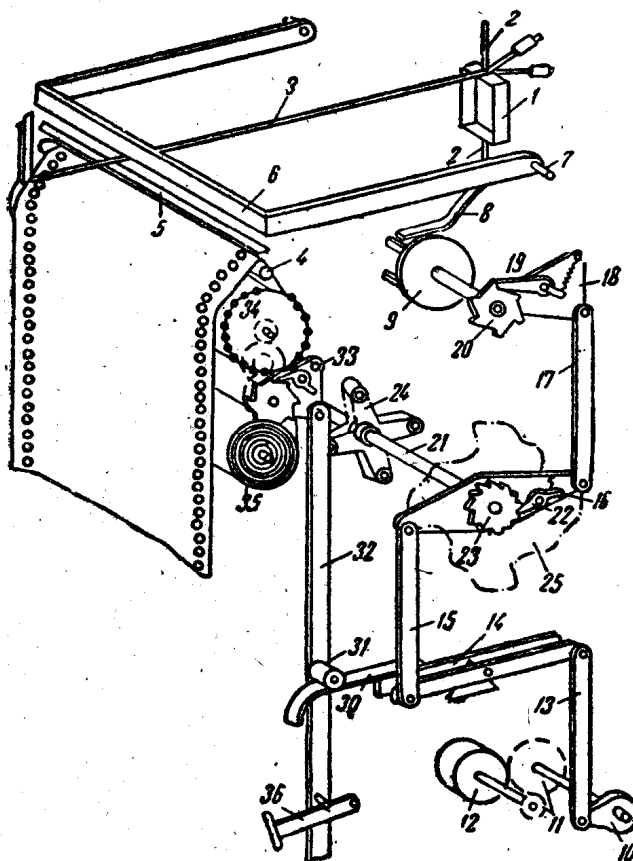


圖1—10 自動記錄式毫伏表傳動圖

1—毫伏表線圈；2—耐拉線；3—指針；4—支持軸；5—色帶；
6—落弓；7—落弓軸；8—支持彈簧；9—凸輪；10—曲柄；11—
傳動齒輪；12—同步電機；13—連杆；14—兩重臂；15—牽引
杆；16—臂；17—牽引杆；18—杠杆；19—掣子；20—棘輪；
21—凸輪軸；22—掣子；23—棘輪；24—轉換開關的十字形凸
輪；25—更換色帶的凸輪；30—撥杆；31—滾子；32—牽引杆；
33—帶動紙帶的制動機構；34—傳動軸；35—紙卷；36—改變紙
帶速度的杠杆

其動作除了指示溫度的指針外，可分為四部分：

(一) 落弓的上下動作

可看圖1—10，落弓是由一個不大的同步電機12來帶動的。電動機12經由傳動齒輪11傳動帶動曲柄10的軸，曲柄跟連杆13成鉸鏈聯結，連杆13帶動兩重臂14作擺動，此擺動經由牽引杆15傳給臂16，再由牽引杆17傳給單臂杠杆18，杠杆18上有一掣子

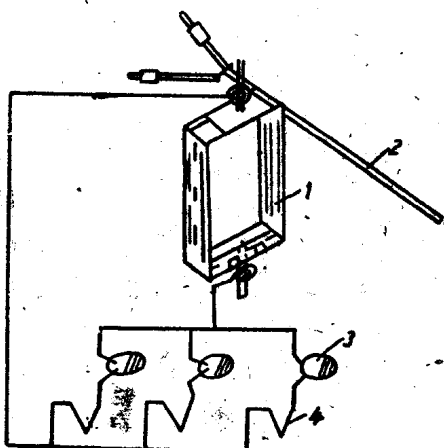


圖1—11 切換熱電偶的水銀接頭及
其轉換機構

1—線圈；2—指針；3—水銀接點；
4—熱電偶

19，跟它相聯接的是棘輪20，此輪固定在凸輪9（上有6個梢子）的軸上。曲柄10每轉一周，亦即杠杆18每擺動一次，使棘輪20和凸輪9轉過60°，引起弓6升降一次。

(二) 轉動記錄紙的動作（見圖1—10）。

在兩重臂14的第二枝上裝有撥杆30。當臂14擺動時，它經由滾子31使牽引杆32上下移動，牽引杆32的上下端各與單臂杠杆33成鉸鏈聯接，單臂杠杆33上有掣子，跟它相聯接的是棘輪。傳動作用和上面所講的18、19和20三個零件是相似的。棘輪軸的另一端是一個齒輪，再經過一套中間傳動齒輪轉動圓筒的軸34。圓筒的兩端都有很多梢釘嵌在紙帶邊上的孔里，這樣就可以把紙從紙卷35上卷起來，杆32下端的一套傳動機構，同樣轉動另一軸，把用過的紙帶卷起來。紙帶移動的速度可用杠杆36來調節，它有三個位置。如果把它放在最高位置，撥杆在作上下的周期擺動接觸滾子31的時刻就比較晚，牽引杆32

的行程也就減少了，因此減小了棘輪轉過的齒數，減小了牽引杆每一行程中紙帶移動的長度。對應于杠杆36的三個位置，可調節紙帶移動的速度為每時20、40和60毫米。

(三) 切換熱電偶的水銀接頭及其切換機構

如果是一點記錄的 $\text{C}\Gamma$ 型毫伏表，可以把熱電偶的“+”“-”二極直接接到毫伏表的“+”“-”極上。如果是幾點記錄時，則每個熱電偶都要經過相應的水銀接頭。如圖1-11所示。

三對水銀接點3總是切換地使其中一個接通，其他的兩個切斷，所以指針所指示的溫度也是隨着水銀接點的切換而代表著不同熱電偶的溫度。水銀接點的切換是經切換機構來進行的。可參看圖1-10。其傳動是，當帶有掣子22的自由轉動的臂16擺動時，都引起與掣子22互相聯接，棘輪23與其相牢固接在一起的軸21轉動，在軸21上裝有三個十字形的凸輪24，各個凸輪的十字形臂間都要錯開約 30° 的角度，由於這些凸輪的轉動，就操縱了熱電偶的切換機關——水銀接點。

切換機構見圖1-12，是三對水銀開關37組成的，它們各裝在可繞公共軸29轉動的肘形杆38上，每個肘形杆上只裝一個水銀接點。杆38被彈簧39向後拉到它的支杆40，與擋柱41相碰。當軸21轉動時，凸輪24依次壓下杆38的肘臂42，因而水銀開關接通。裝置支杆40和擋柱41是為了使水銀開關準確地依次閉合和斷開，避免上一個開關未斷而後一個開關又閉合，或者是下一個水銀開關斷開了，而後一個開關尚未閉合，使毫伏表線圈中電流變化很大，指針急劇地偏轉，容易損壞。

(四) 色帶的更換

色帶的更換和水銀接點的切換是嚴密地相配合著的。每個熱電偶所產生的熱電勢必須用一定的帶色曲線（幾條不同顏色的虛線）表示出來。色帶的更換是如下進行的（參看圖1-13）。

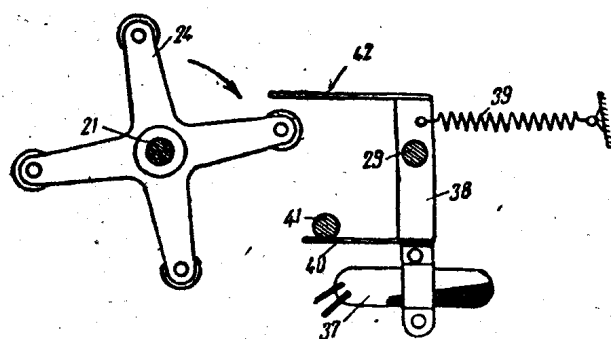


圖1-12 熱電偶的切換機構

37—水銀開關；38—肘形杆；39—彈簧；40和42—支杆；41—擋柱；21—凸輪軸；24—凸輪

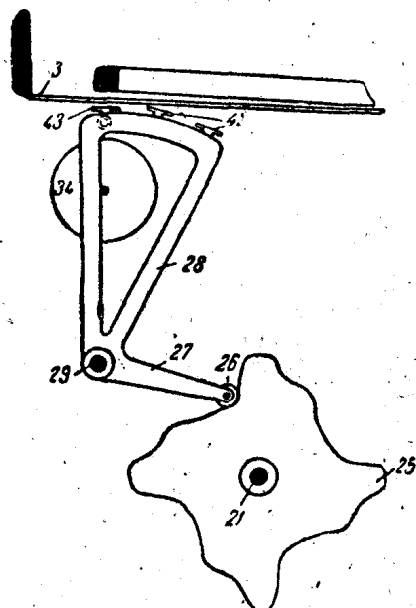


圖1-13 更換色帶的機構

3—毫伏表的指針；21—凸輪軸；25—更換色帶的凸輪；26—扇形支架的滾子；27—扇形支架的支杆；28—扇形支架；29—扇形支架的轉動軸；34—卷紙帶的軸；43—固定色帶用的凸出物

在軸21上裝有特殊形狀的凸輪25，輪緣上緊接着的滾子26裝在扇形支架28的支杆27的一端，另一扇形支架與28平行，兩扇形支架各自與儀器的短軸29鉸鏈相接，由於凸輪25的迴轉，兩扇形支架就作前后的擺動。

两扇形支架的弧边上各有3个凸出物43，用来固定三条色带的两端。根据凸輪25的位置怎样，那时接上的热电偶就是相应的那个，扇形杆就摆动相应一个角度，指針下就是三条色带中相应的一条，因此每一热电偶都有相当的颜色来记录。

记录六个热电偶的色带也是用三条色带，由于利用凸輪25的特殊形状，有三个热电偶是用一种颜色的，另外三个热电偶都是用两种颜色所组成的。

三、毫伏表刻度盘上的标记：

毫伏表刻度盘上载有下列标记：

1. 仪器的精度级，用小圆内的数字表示，如④。
2. 毫伏表的电阻 R_r 。
3. 毫伏表的线圈的电阻 R_p 及仪器的温度系数 α 。
4. 仪器刻度时的温度。
5. 跟毫伏表相接的外路电阻 R_{nn} （热电偶，补偿线，连接导线的电阻）。
6. 所使用热电偶的名称。

§ 3 电 位 表

由于电位表具有很多优点，如动作快，工作可靠，而且准确度也较高，所以在测量温度时，电位表被广泛地采用。

一、用电位表测量热电势的基本原理：

用电位表测量热电势的基本原理是：在一已知电路中取一已知电压降来和待测热电势平衡。如图1—14所示。

AB5A为已知电路（即电流强度 I_1 为已知，AB间每单位长度的电阻值为已知），
НП为检流表，T为热电偶。热电偶T所产生的热电势 $E_{(t,t_0)}$ 的方向和电源B电势的方向相反。当热电偶产生的热电势与AD间电压降不平衡时，产生电流 I_2 。移动滑接点Д，则当二者达到平衡， $I_2=0$ 时，待测的热电势：

$$E_{(t,t_0)} = I_1 \times R_{AA} \quad (1-14)$$

式中 R_{AA} ——已知电路中AD间的滑线电阻值。

证明：根据基尔霍夫定则，在ADTA回路中：

$$E_{(t,t_0)} = I_2 \times R_r + I_2 \times R_n + I_2 \times R_{nn} + (I_1 + I_2) \times R_{AA} \quad (1-15)$$

式中 R_r ——热电偶电阻；

R_n ——连接导线电阻；

R_{nn} ——检流表电阻。

整理公式1—15得：

$$E_{(t,t_0)} - I_1 \times R_{AA} = I_2 \times (R_r + R_n + R_{nn} + R_{AA}) \quad (1-16)$$

由公式(1—16)可知，当 $I_2=0$ 时，则 $E_{(t,t_0)} = I_1 \times R_{AA}$ 。所以滑线AB间的标尺可标以毫伏数或相应的温度值。

可见在标尺上刻度以后，电阻 R_{AA} 和电流 I_1 ，是不允许变更的，这样方能使测量结果在长期内有足够的准确度。可是在使用过程中，因为由于电池组成的电源B要消耗能